

Trabalho 1 - Equações Elípticas

Julia Graziosi Ortiz
Matheus Araujo Pinheiro

São Carlos, 2025

1 Dados do problema

Considere o problema estacionário no domínio retangular $\Omega = [0, 1] \times [-1, 1]$, definido pela equação de convecção-difusão anisotrópica:

$$\frac{\partial^2 u}{\partial x^2} + 3 \frac{\partial^2 u}{\partial y^2} = c \frac{\partial u}{\partial y}$$

com as seguintes condições de contorno:

- Nas fronteiras verticais ($x = 0$ e $x = 1$):

$$u(0, y) = u(1, y) = 0, \quad \forall y \in [-1, 1]$$

- Nas fronteiras horizontais:

$$(\nabla u \cdot \mathbf{n})|_{(x,-1)} = e \operatorname{sen}(2\pi x), \quad \forall x \in [0, 1]$$

$$(\nabla u \cdot \mathbf{n} + u)|_{(x,1)} = 0, \quad \forall x \in [0, 1]$$

Fixando $c = 4\pi^2 - 3$, a solução analítica particular para o problema dado é:

$$u(x, y) = e^{-y} \operatorname{sen}(2\pi x)$$

2 Discretização

No domínio retangular $\Omega = [0, 1] \times [-1, 1]$, vamos definir uma malha uniforme com espaçamento genérico h utilizando os pares de pontos (x_i, y_j) definidos por:

$$\begin{aligned} x_i &= x_0 + ih, \quad i \in \{0, 1, \dots, n\} & y_j &= y_0 + h, \quad j \in \{0, 1, \dots, m\} \\ x_0 &= 0 \quad \text{e} \quad x_n = 1 & y_0 &= -1 \quad \text{e} \quad y_m = 1 \end{aligned}$$

$$\text{com } h = \frac{1}{n+1} = \frac{2}{m+1}.$$

Dessa forma, temos $N = (n+1)(m+1)$ pontos discretos para aproximar a função $u(x, y)$.

Seja $u(x_i, y_j) = u_{ij} \approx U_{ij}$.

Para os pontos fora da fronteira, adotamos diferenças centrais de segunda ordem pra aproximar as derivadas parciais:

$$\begin{aligned}\frac{\partial^2}{\partial x^2}u(x_i, y_j) &\approx \frac{1}{h^2}[U_{i+1,j} - 2U_{ij} + U_{i-1,j}] \\ \frac{\partial^2}{\partial y^2}u(x_i, y_j) &\approx \frac{1}{h^2}[U_{i,j+1} - 2U_{ij} + U_{i,j-1}] \\ \frac{\partial}{\partial y}u(x_i, y_j) &\approx \frac{U_{i,j+1} - U_{i,j-1}}{2h}\end{aligned}$$

Substituindo na equação do problema:

$$\begin{aligned}\frac{1}{h^2}[U_{i+1,j} - 2U_{ij} + U_{i-1,j}] + 3 \left(\frac{1}{h^2}[U_{i,j+1} - 2U_{ij} + U_{i,j-1}] \right) &= c \left(\frac{U_{i,j+1} - U_{i,j-1}}{2h} \right) \\ \frac{1}{h^2}[U_{i+1,j} + U_{i-1,j} - 8U_{ij} + 3U_{i,j+1} + 3U_{i,j-1} - ChU_{i,j} + ChU_{i,j-1}] &= 0 \\ (3 + Ch)U_{i,j-1} + U_{i-1,j} - 8U_{ij} + U_{i+1,j} + (3 - Ch)U_{i,j+1} &= 0\end{aligned}$$

com $C = \frac{c}{2}$.

Para ilustrar as condições de contorno do problema, considere a figura abaixo:

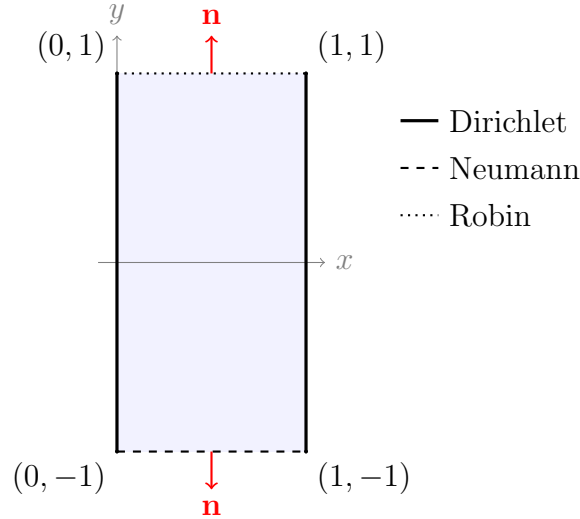


Figura 1: Condições de contorno no domínio Ω .

Fronteiras verticais

Nas fronteiras verticais temos condições de Dirichlet:

$$u(0, y) = u(1, y) = 0 \quad \forall y \in [-1, 1]$$

Então,

$$U_{0,j} = U_{n,j} = 0, \quad \forall j \in \{0, \dots, m\}$$

Fronteiras horizontais

Para lidar com essas condições, iremos adotar esquemas de diferenças finitas que usam somente os pontos que pertencem à malha.

Na fronteira inferior, conforme a Figura 1 temos $\mathbf{n} = [0 \ -1]$:

$$(\nabla u \cdot \mathbf{n})|_{(x,-1)} = -\frac{\partial}{\partial y}u(x, -1) = e \operatorname{sen}(2\pi x), \quad \forall x \in [0, 1]$$

Usando diferença progressiva com 3 pontos:

$$\begin{aligned} -\frac{\partial}{\partial y}u(x_i, y_0) &\approx -\left(\frac{-3U_{i,0} + 4U_{i,1} - U_{i,2}}{2h}\right) = e \operatorname{sen}(2\pi x_i), \quad \forall i \in \{1, \dots, n-1\} \\ \left(\frac{3U_{i,0} - 4U_{i,1} + U_{i,2}}{2h}\right) &= e \operatorname{sen}(2\pi x_i) \\ 3U_{i,0} - 4U_{i,1} + U_{i,2} &= 2he \operatorname{sen}(2\pi x_i) \end{aligned}$$

Na fronteira superior temos $\mathbf{n} = [0 \ 1]$:

$$(\nabla u \cdot \mathbf{n} + u)|_{(x,1)} = \frac{\partial}{\partial y}u(x, 1) + u(x, 1) = 0, \quad \forall x \in [0, 1]$$

Usando diferença regressiva com 3 pontos:

$$\begin{aligned} \frac{\partial}{\partial y}u(x_i, y_m) + u(x_i, y_m) &\approx \frac{U_{i,m-2} - 4U_{i,m-1} + 3U_{i,m}}{2h} + U_{i,m} = 0, \quad \forall i \in \{1, \dots, n-1\} \\ \frac{U_{i,m-2} - 4U_{i,m-1} + 3U_{i,m} + 2hU_{i,m}}{2h} &= 0 \\ U_{i,m-2} - 4U_{i,m-1} + (3 + 2h)U_{i,m} &= 0 \end{aligned}$$

3 Sistema Linear

Analisadas as condições de contorno, vamos construir a matriz do sistema linear $AU = b$.

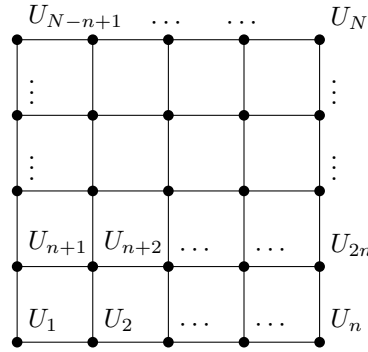


Figura 2: Numeração das incógnitas do problema.

Considere $k = (i + 1) + nj$, $\forall i \in \{0, \dots, n\}$, $\forall j \in \{0, \dots, m\}$. Assim, os pontos da malha são numerados da forma padrão por linha (ilustrado na Figura 2) e o sistema é da forma:

$$\begin{bmatrix} a_{11} & a_{12} & \cdots & a_{1N} \\ \vdots & & & \vdots \\ a_{N1} & a_{N2} & \cdots & a_{NN} \end{bmatrix} \begin{bmatrix} U_1 \\ \vdots \\ U_N \end{bmatrix} = \begin{bmatrix} b_1 \\ \vdots \\ b_N \end{bmatrix}$$

Vamos usar a notação A_k para indicar a k -ésima linha da matriz A .

(i) Nos pontos com condição de Dirichlet ($k = nj + 1$ e $k = nj + n$):

$$b_k = [0]$$

$$\text{coluna} \quad 1 \quad \dots \quad k \quad \dots \quad N$$

$$A_k = \begin{bmatrix} 0 & \dots & 1 & \dots & 0 \end{bmatrix}$$

OBS: Nos encontros das condições de Dirichlet com Neumann e Dirichlet com Robin, prevalecem as condições de Neumann e Robin, respectivamente.

(ii) Nos pontos com condição de Neumann ($1 < k < n$):

$$b_k = [2hesen(2\pi x_i)]$$

$$\text{coluna} \quad 1 \quad \dots \quad k \quad \dots \quad k+n \quad \dots \quad k+2n \quad \dots \quad N$$

$$A_k = \begin{bmatrix} 0 & \dots & 3 & \dots & -4 & \dots & 1 & \dots & 0 \end{bmatrix}$$

(iii) Nos pontos com condição de Robin ($N - n + 1 < k < N$)

$$b_k = [0]$$

$$\text{coluna} \quad 1 \quad \dots \quad k-2n \quad \dots \quad k-n \quad \dots \quad k \quad \dots \quad N$$

$$A_k = \begin{bmatrix} 0 & \dots & 1 & \dots & -4 & \dots & (3+2h) & \dots & 0 \end{bmatrix}$$

(iv) Nos outros pontos:

$$b_k = [0]$$

$$\text{coluna} \quad 1 \quad \dots \quad k-n \quad \dots \quad k-1 \quad k \quad k+1 \quad \dots \quad k+n \quad \dots \quad N$$

$$A_k = \begin{bmatrix} 0 & \dots & (3+Ch) & \dots & 1 & -8 & 1 & \dots & (3-Ch) & \dots & 0 \end{bmatrix}$$

4 Resultados

A implementação do método apresentado com espaçamento $h = 0.1$ resultou nas superfícies da Figura 4 abaixo:

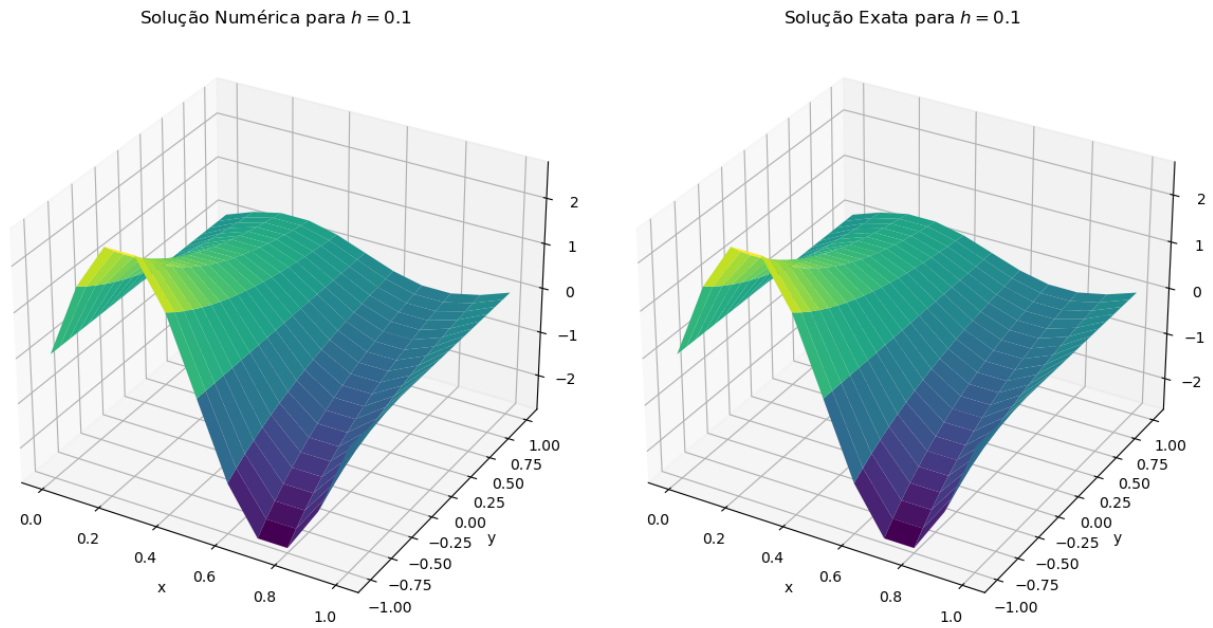


Figura 3: Superfície das soluções numérica e analítica avaliadas nos pontos da $h = 0.1$.

Comparando visualmente as soluções, as superfícies se assemelham em toda a malha, incluindo as bordas e os pontos críticos. Portanto, podemos assumir que a solução numérica é uma boa aproximação para o problema proposto.

Ainda com essa malha, calculamos os erros absolutos ponto a ponto:

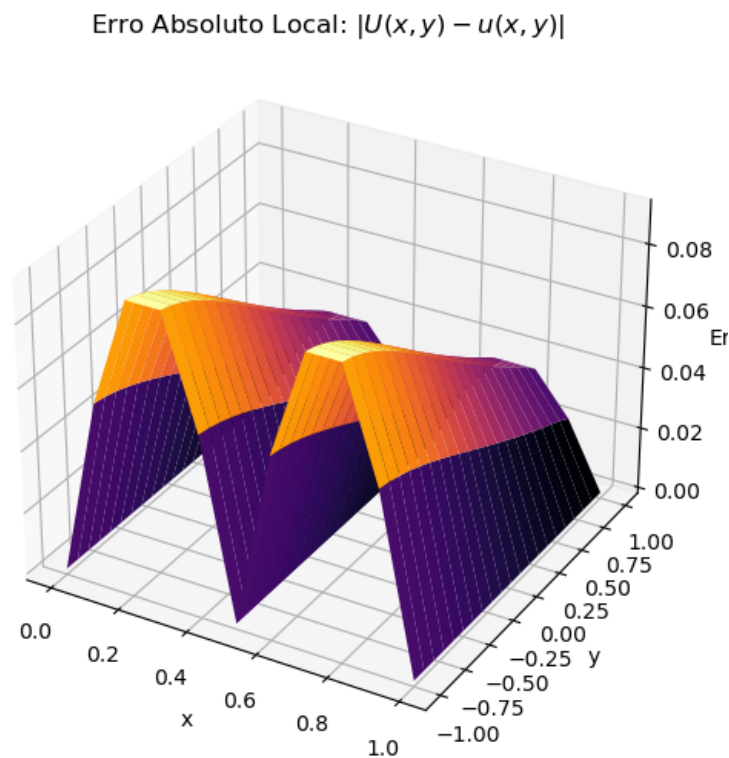


Figura 4: Erro absoluto local para $h = 0.1$.

O gráfico acima (Figura 4) indica um erro maior próximos aos pontos críticos da solução no

intervalo, isso ocorre porque em regiões com variações rápidas, os métodos numéricos tendem a apresentar maiores erros, pois têm dificuldade em capturar mudanças bruscas da função. As condições de contorno, como as de Neumann e Robin, também afetam a precisão, podendo propagar erros para o interior. Assim, os maiores erros ocorrem nos pontos críticos devido à combinação das variações locais intensas e da influência das bordas. Ainda assim, os erros locais são da ordem de h^2 , como esperado.

Para verificar se a ordem de convergência teórica condiz com a do método implementado, foi utilizado uma reta referência $O(h^2)$ em um gráfico $\log - \log$ e erro L2-norm, para os seguintes tamanhos de h : $\{0.0125, 0.025, 0.05, 0.075, 0.1\}$

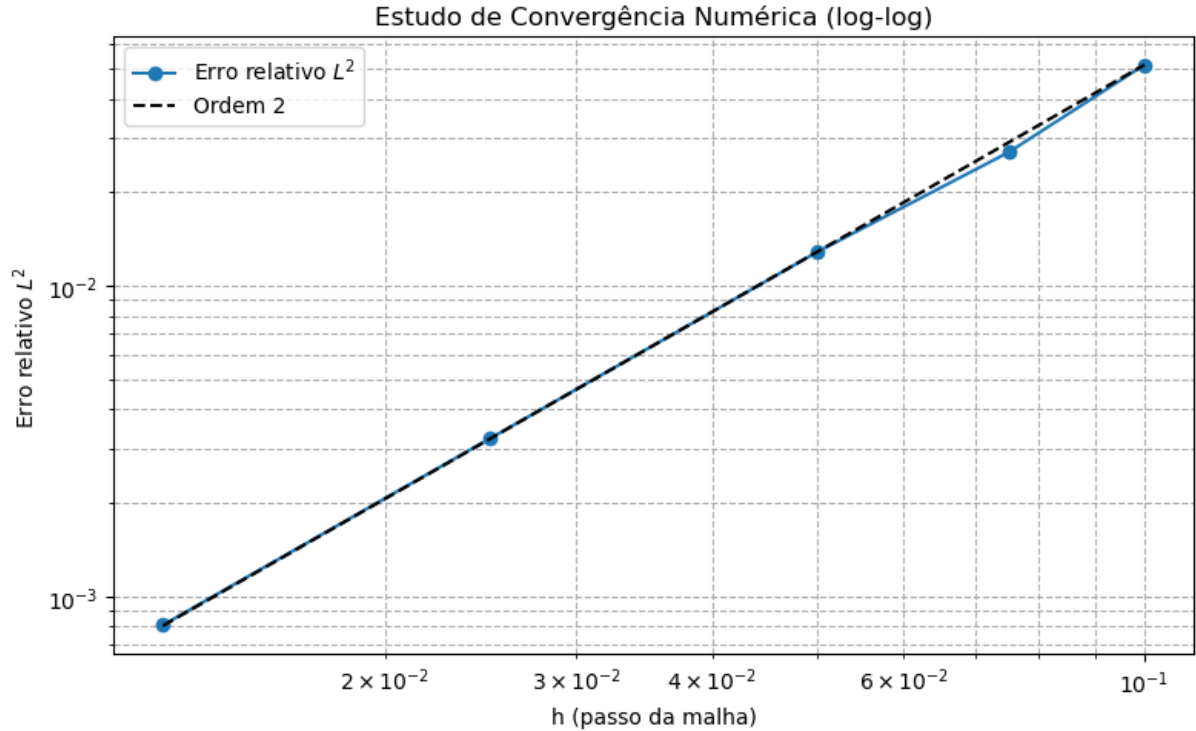


Figura 5: Comportamento assintótico do erro.

A ordem calculada foi de $p = 1.9821$, a qual se aproxima da ordem $p = 2$ esperada quando $h \rightarrow 0$.

Logo, conclui-se que de fato a solução numérica é suficientemente próxima, isto é, de ordem $p = 2$, como desejado, da solução analítica previamente obtida.

5 Referências

1. <https://numpy.org/doc/stable/reference/index.html>
2. <https://matplotlib.org/>
3. Leveque 1995, Finite Difference Methods for Ordinary and Partial Differential Equations